

Dr.-Ing. Peter Wulf - Raum F219a
<http://www.mp.haw-hamburg.de/pers/Wulf/>

2. Hydrostatik und Aerostatik

- Hydrostatische Grundgleichung
- Vertikale Druckverteilung
- Druckkräfte auf Behälterwände
- Hydrostatischer Auftrieb
- Hydrostatik bei gleichförmiger Beschleunigung
- Hydrostatische Stabilität schwimmender Körper
- Aerostatik

Fakultät Technik und Informatik
Department Maschinenbau und Produktion



Hochschule für Angewandte Wissenschaften Hamburg

Hamburg University of Applied Sciences

Stand: 2009-04-08

Hydrostatik

⇒ Voraussetzungen der Hydrostatik:

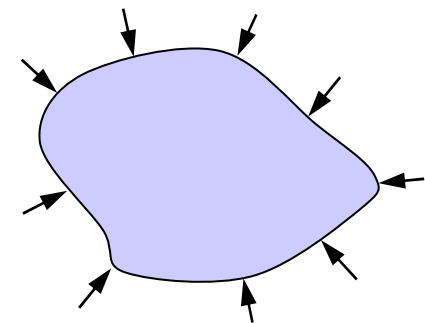
- ⇒ inkompressibles Fluid ($\rho = \text{const}$)
- ⇒ Ruhezustand (keine Bewegungen des Fluids) oder gleichförmige Bewegung (Starrkörperbewegung des Fluids)

⇒ Bedeutung der Inkompressibilität

- ⇒ Dichte ρ ist keine Funktion des Ortes (oder der Zeit)
- ⇒ Fluidmasse im Volumen ergibt sich zu $m = \int \rho dV = \rho V$

⇒ Bedeutung des Ruhezustands

- ⇒ Keine Schubspannungen, da keine Scherbewegung
- ⇒ Im Fluid werden nur Druckkräfte übertragen, die senkrecht auf den Bezugsflächen stehen
- ⇒ Druckkräfte stehen mit der Schwerkraft und den Reaktionskräften der begrenzenden Wände im statischen Gleichgewicht
- ⇒ Druckkräfte sind ortsabhängig $p=p(x,y,z)$

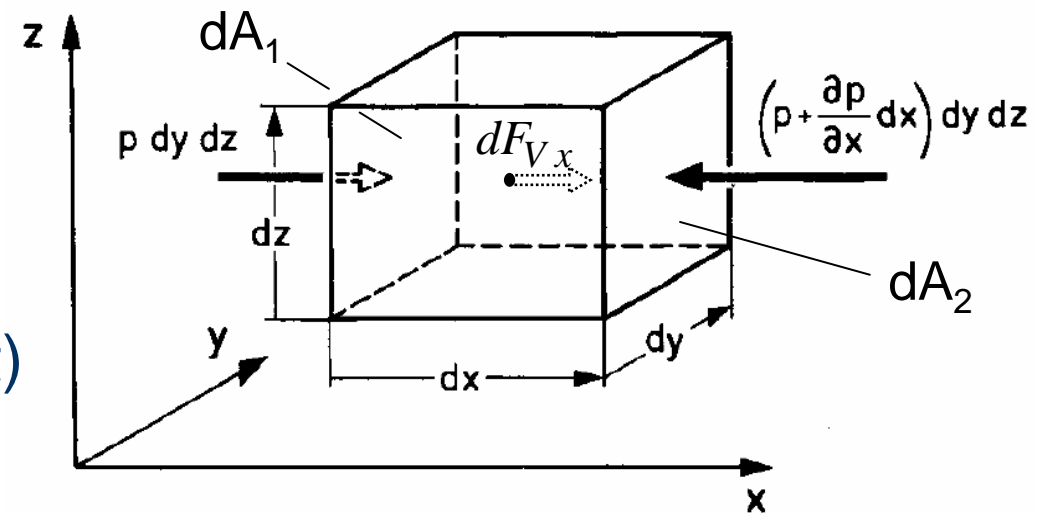


Wirkung der Druckkräfte auf ein Kontrollvolumen

Hydrostatische Grundgleichung (1/2)

⇒ Kräfte an einem infinitesimal kleinem Fluid-Quader

- ⇒ Oberflächenkräfte (Druckkräfte) wirken nur auf den Flächen
- ⇒ Volumenkräfte (hier Schwerkraft) wirken im ganzen Volumen



⇒ Taylorentwicklung für die Druckänderung in x-Richtung

$$p_1 = p(x, y, z) \quad p_2 = p(x + dx, y, z) = p + \frac{\partial p}{\partial x} dx + \dots$$

Bei Abhängigkeiten von mehreren Koordinaten müssen partielle Ableitungen verwendet werden.

⇒ Volumenkraft aus Erdbeschleunigung: $dF_{Vx} = dm \cdot g_x = \rho g_x dV$

⇒ Kräftegleichgewicht $\sum F_x = 0 = p_1 dA_1 - p_2 dA_2 + dF_{Vx}$

Hydrostatische Grundgleichung (2/2)

⇒ Kräftegleichgewicht $\sum F_x = 0 = p_1 dA_1 - p_2 dA_2 + dF_{Vx}$

$$= \cancel{p dydz} - (\cancel{p} + \frac{\partial p}{\partial x} \cancel{dx}) \cancel{dydz} + \rho g_x \cancel{dx} dydz$$
$$\rightarrow \frac{\partial p}{\partial x} = \rho g_x$$

Für die y- und z-Richtung ergibt sich jeweils eine analoge Gleichung

⇒ Eulersche Grundgleichung der Hydrostatik

$$\boxed{\frac{\partial p}{\partial x} = \rho g_x} \quad \boxed{\frac{\partial p}{\partial y} = \rho g_y} \quad \boxed{\frac{\partial p}{\partial z} = \rho g_z}$$

⇒ Alternative Schreibweise:

Der Druckgradient (größte räumliche Druckänderung) zeigt in Richtung des Beschleunigungsvektors

$$\text{grad } p = \nabla p = \begin{pmatrix} \partial p / \partial x \\ \partial p / \partial y \\ \partial p / \partial z \end{pmatrix} = \rho \vec{g}$$

⇒ Bei weiteren Volumenkräften/Beschleunigungen gilt:

$$\vec{a}_{ges} = \sum_i \vec{a}_i + \vec{g} \quad \rightarrow \quad \frac{\partial p}{\partial x} = \rho a_{ges,x} \quad \frac{\partial p}{\partial y} = \rho a_{ges,y} \quad \frac{\partial p}{\partial z} = \rho a_{ges,z}$$

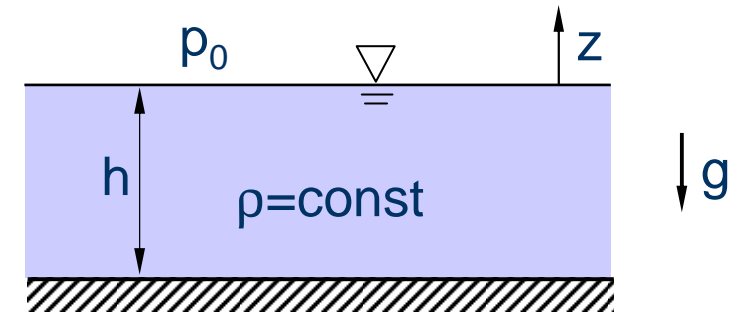
Höhenabhängige Druckverteilung

⇒ Höhenabhängige Druckverteilung

⇒ Inkompressibles Fluid der Höhe h

⇒ Druck p_0 an der Oberfläche

⇒ g zeigt entgegen der z -Richtung



→ $\frac{\partial p}{\partial x} = \frac{\partial p}{\partial y} = 0$ → Keine Druckänderung in der horizontalen Ebene

→ $\frac{\partial p}{\partial z} = -\rho g$ → Druckänderung erfolgt nur in vertikaler Richtung
 \uparrow
 g zeigt entgegen z

⇒ Druckverteilung ergibt sich aus der Integration über z

$$p = -\int \rho g dz + C = -\rho g z + C$$

⇒ Randbedingung an der Oberfläche: $p=p_0$ wenn $z=0$

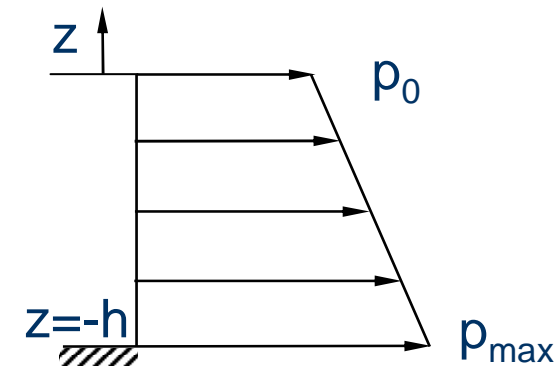
$$p(z=0) = C = p_0$$

⇒ Druckverteilung

$$p = p_0 - \rho g z$$

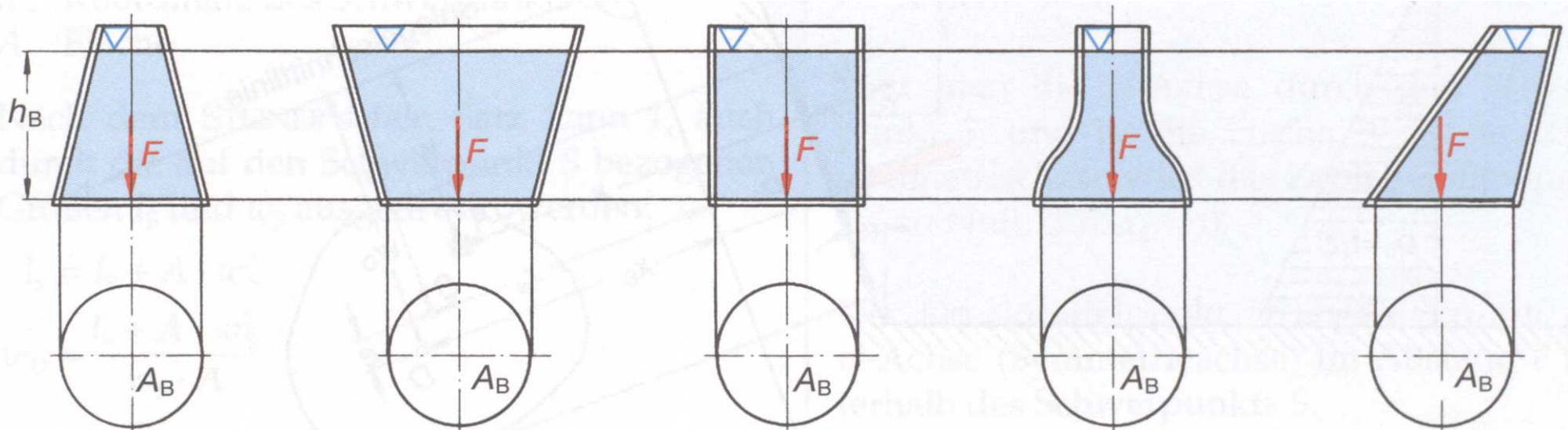
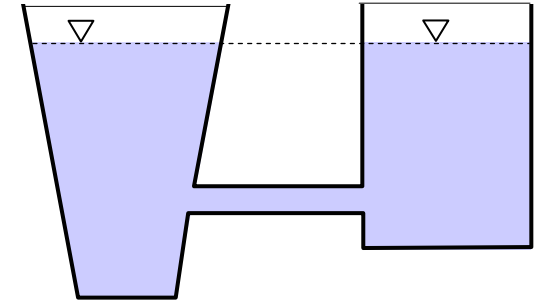
⇒ Der Druck steigt proportional mit der Tiefe an

⇒ Der Druck wird am Behälterboden maximal



Hydrostatische Druckverteilung

- ⇒ Bei einem inkompressiblen, ruhenden, homogenen Fluid
 - ⇒ herrscht an Orten gleicher Tiefe der gleiche Druck
 - ⇒ stellt sich bei verbundenen (offenen) Gefäßen die gleiche Oberflächenhöhe ein
(→ **Prinzip der kommunizierenden Röhren**)
- ⇒ ergibt sich in Behältern mit gleicher Bodenfläche und Füllhöhe unabhängig von der Gefäßform die gleiche Bodenkraft
(→ **Hydrostatisches oder Pascalsches Paradoxon**)

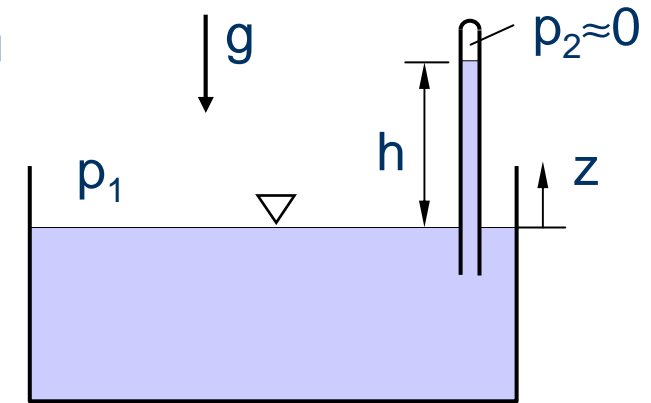


Anwendungen: Messung von Drücken

⇒ **Barometer:** Messung von Absolutdrücken

$$p_1 = p_2 + \rho gh \cong \rho gh$$

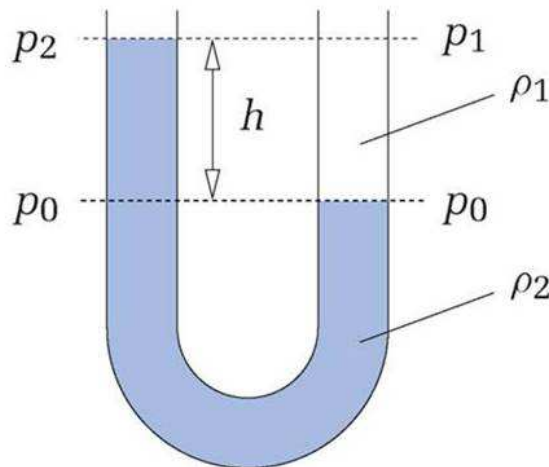
Voraussetzung: Fluid hat mit p_2 seinen Dampfdruck nicht unterschritten (z.B. Quecksilber: $p_{D,Hg}=0,24\text{Pa}$ (bei 20°C))



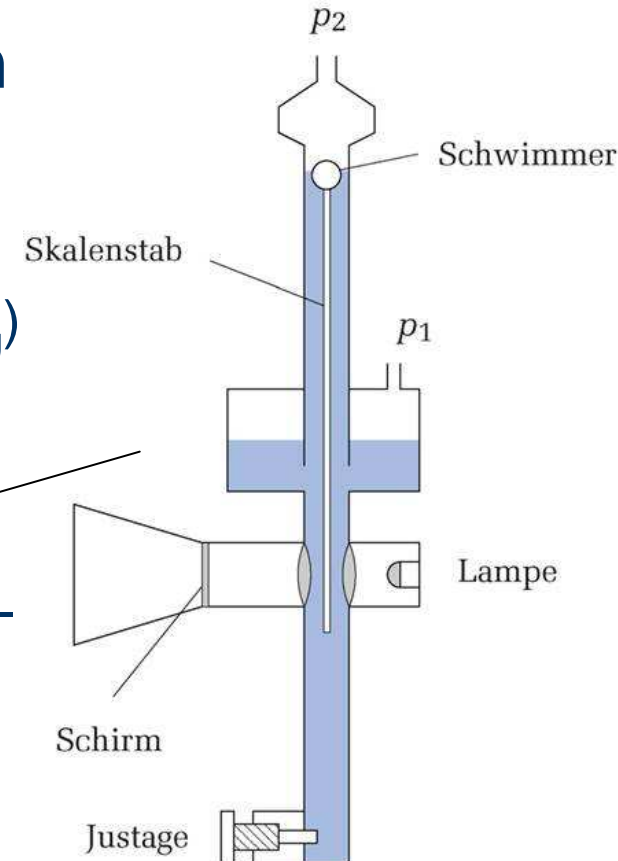
⇒ **Manometer:** Messung von Differenzdrücken

⇒ U-Rohr Manometer

$$\Delta p = p_2 - p_1 = (p_0 - \rho_2 gh) - (p_0 - \rho_1 gh) = (\rho_1 - \rho_2) gh$$
$$\approx -\rho_2 gh \quad (\text{wenn } \rho_1 \ll \rho_2, \text{ z.B. } \rho_1 = \rho_{\text{Luft}}, \rho_2 = \rho_{\text{Hg}})$$



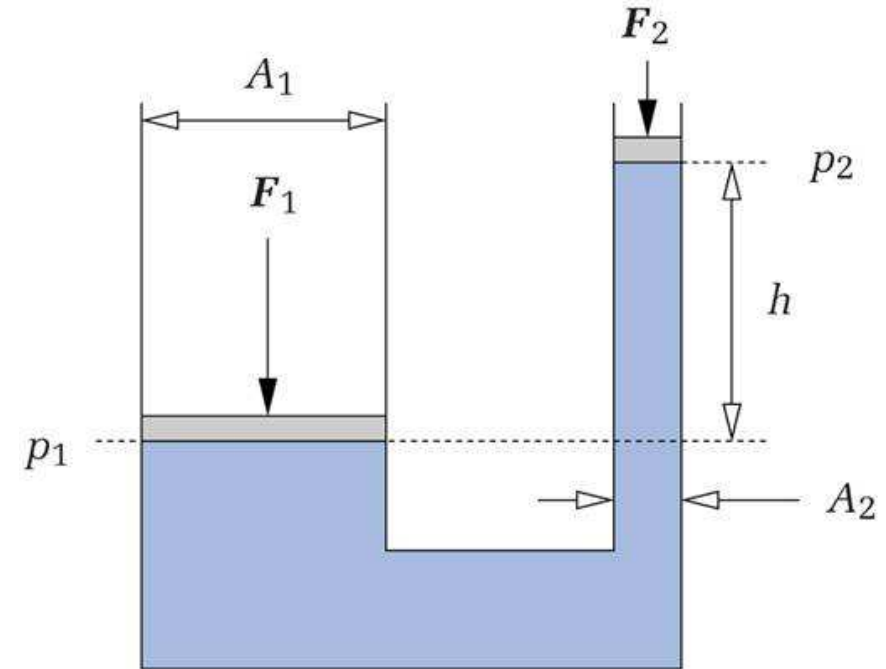
Technische Ausführung:
Betz-Manometer mit unterschiedlich großen Querschnitten, um auch kleine Druckdifferenzen auflösen zu können



Anwendungen: Hydraulik

⇒ Hydraulische Presse

- ⇒ basiert auf dem Prinzip der kommunizierenden Röhren
- ⇒ Kraftverstärkung ergibt sich über das Flächenverhältnis A_1/A_2
- ⇒ Druck der Flüssigkeitssäule kann gegenüber dem Gesamtdruck im System vernachlässigt werden



⇒ Kräfte an den Stempeln: $F_1 = p_1 A_1$ $p_1 = F_1 / A_1$
 $F_2 = p_2 A_2$ $p_2 = F_2 / A_2$

⇒ Hydrostatische Druckverteilung: $p_1 = p_2 + \rho g h \rightarrow \frac{F_1}{A_1} = \frac{F_2}{A_2} + \rho g h$

im allg. gilt: $\rho g h \ll \frac{F_2}{A_2}$

⇒ Hydraulische Verstärkung $F_1 = F_2 \frac{A_1}{A_2}$ $F_1 \gg F_2$ wenn $A_1 \gg A_2$

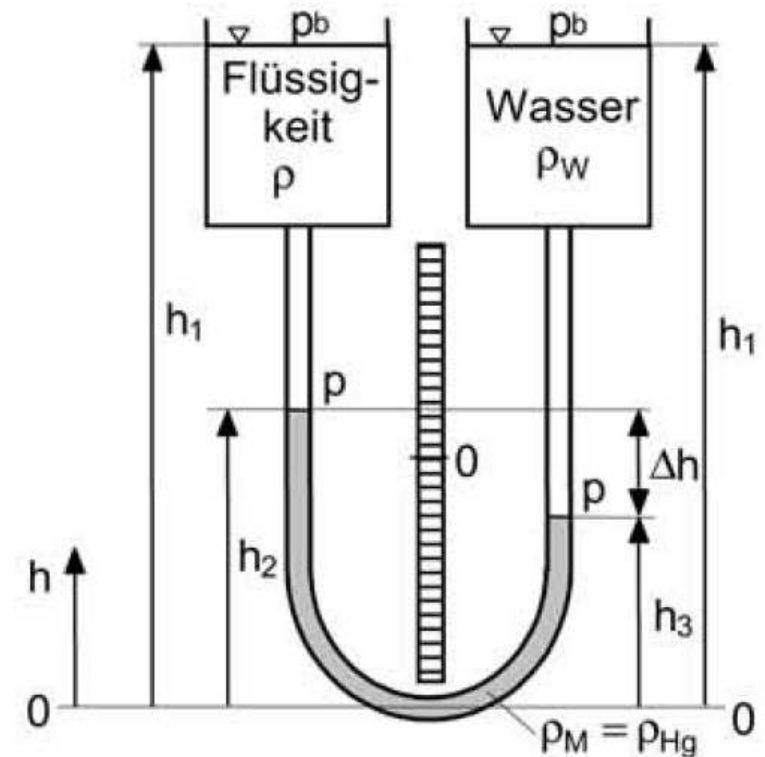
Beispiel

⇒ Die Dichte einer Flüssigkeit soll mit der skizzierten Anordnung ermittelt werden

Geg.: $h_1=150\text{mm}$, $h_2=70\text{mm}$, $h_3=66\text{mm}$,
 $\rho_W=1000\text{kg/m}^3$, $\rho_{\text{Hg}}=13500\text{kg/m}^3$

Ges.: ρ

⇒ Beispiel wird an der Tafel vorgerechnet



Druckkräfte auf senkrechte Behälterwände

- ⇒ Druckkraft auf einen Behälterboden $F = (p_i - p_a) A$
(gilt für alle Begrenzungsflächen, die senkrecht zu g stehen)

"i" = innen
"a" = außen

- ⇒ Druckkraft auf eine senkrechte gerade Behälterwand

- ⇒ Druckdifferenz ändert sich mit z
⇒ Integration über die Druckdifferenz

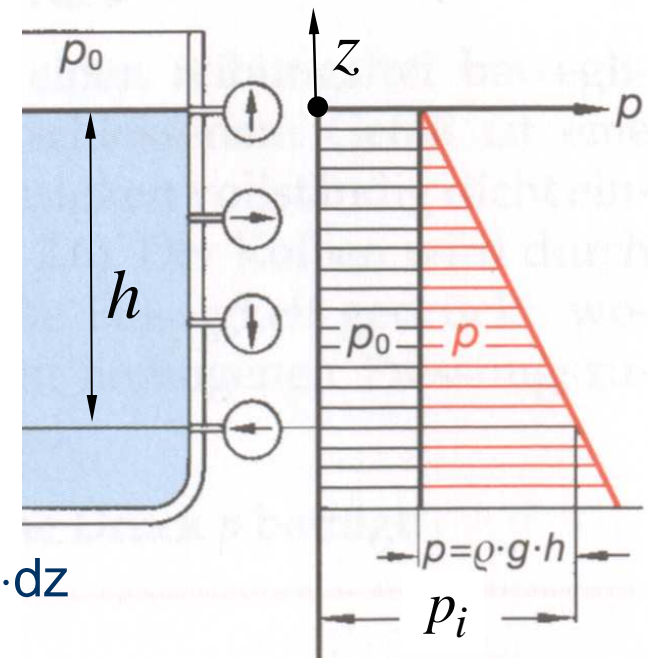
$$F = \int_A (p_i - p_a) dA \quad p_i = p_0 - \rho g z \quad (!)$$

bei konstantem Außendruck $p_a = p_0$

$$\rightarrow F = - \int_A \rho g z dA$$

bei konstanter Behälterbreite B : $A = B \cdot h$ bzw. $dA = B \cdot dz$

$$\rightarrow F = - \int_{z=-h}^{z=0} \rho g z B dz = \rho g B \frac{h^2}{2}$$



- ⇒ Resultierende Druckkraft nimmt mit der Tiefe h quadratisch zu

- ⇒ Angriffspunkt liegt im Schwerpunkt der Druckverteilung $z_S = -\frac{2}{3}h$

Achtung: Senkrechte gerade Wand ist ein Sonderfall!

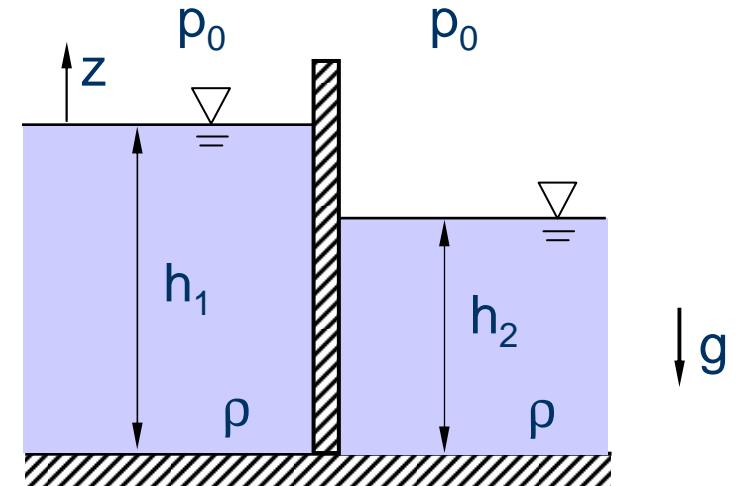
Beispiel

⇒ Zwei Wasserbecken werden durch eine Wand (Breite B) getrennt.

Geg.: $h_1=2,0\text{m}$, $h_2=1,5\text{m}$, $g=9,81\text{m/s}^2$
 $\rho=1000\text{kg/m}^3$, $B=10\text{m}$

Ges.: a) Resultierende Druckkraft
auf die Trennwand
b) Vertikaler Kraftangriffspunkt
der resultierenden Druckkraft

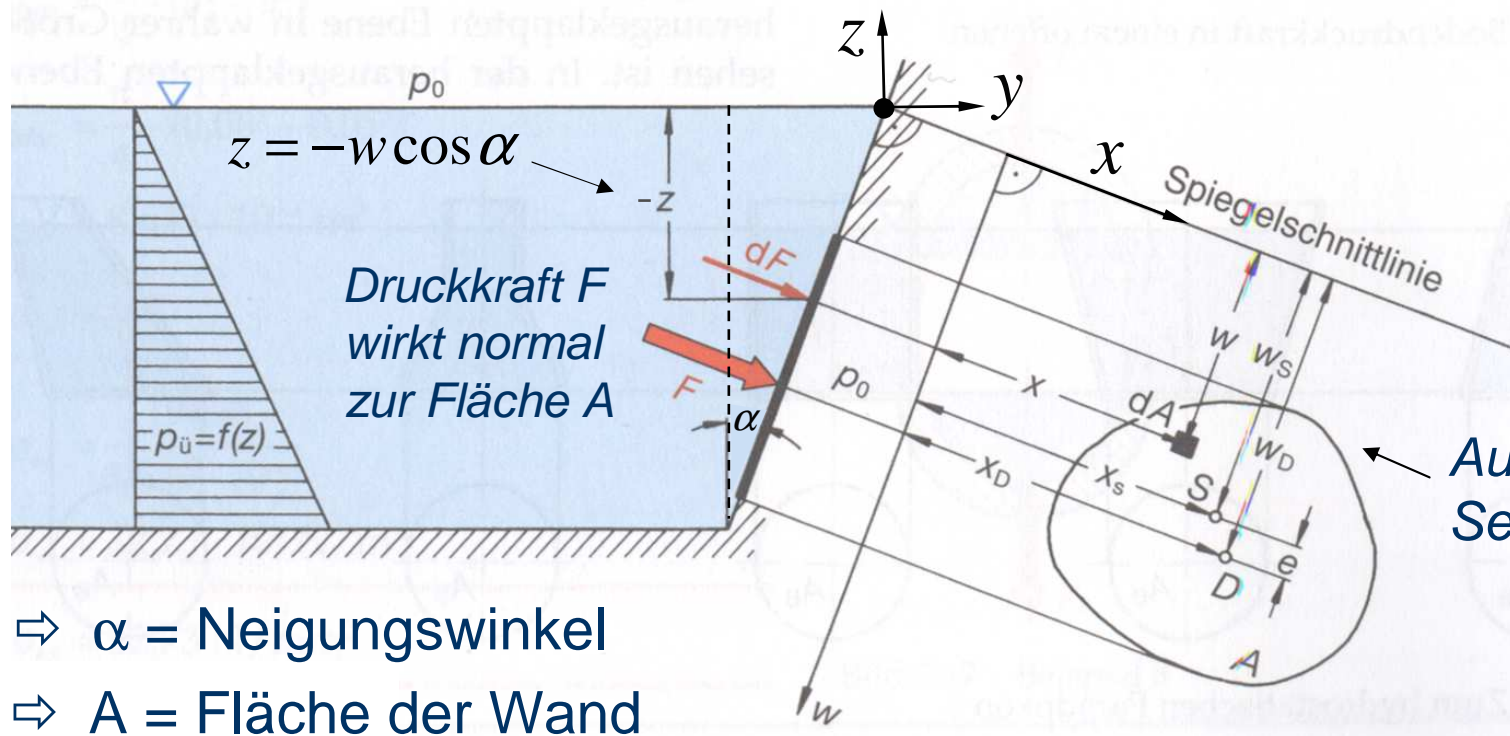
⇒ Beispiel wird an der Tafel vorgerechnet



Druckkräfte auf geneigte Behälterwände (1/5)

⇒ Neues Koordinatensystem für geneigte gerade Behälterwand

- ⇒ Für die Wand wird das Koordinatensystem x - w eingeführt
- ⇒ x -Achse liegt in der Spiegelschnittlinie (=oberer Rand)
- ⇒ w -Achse weist von der Spiegelschnittlinie nach unten
- ⇒ Aber: Druck ändert sich weiterhin mit z



Aufsicht auf die Seitenwand !!

- ⇒ α = Neigungswinkel
 - ⇒ A = Fläche der Wand
 - ⇒ D = Angriffspunkt der Druckkraft
 - ⇒ S = Flächenschwerpunkt der Seitenwand
- Abstand $e = w_D - w_S$ (!)

Druckkräfte auf geneigte Behälterwände (2/5)

⇒ Druckkraft auf eine geneigte gerade Behälterwand

⇒ Integration über die Druckdifferenz (analog zur senkrechten Wand)

$$F = \int_A (p_i - p_a) dA \quad p_i = p_0 - \rho g z \quad (!)$$

bei konstantem Außendruck $p_a = p_0$

$$\rightarrow F = - \int_A \rho g z dA \quad z = -w \cos \alpha$$

$$\rightarrow F = \rho g \cos \alpha \int_A w dA$$

⇒ Integral $\int_A w dA$ ist bekannt aus TM1: **Statisches Moment**

zur Bestimmung eines **Flächenschwerpunkts**: $w_s = \frac{\int_A w dA}{A}$

$$\rightarrow w_s \cdot A = \int_A w dA \quad (\text{Bei bekannter Lage des Flächenschwerpunkts } w_s \text{ kann das Integral leicht bestimmt werden})$$

$$\Rightarrow \text{Druckkraft}^* \left\{ \begin{array}{l} F = \rho g \cdot \cos \alpha \cdot w_s \cdot A \quad (\text{mit Schwerpunkt der geneigten Fläche: } w_s) \\ F = -\rho g \cdot z_s \cdot A \quad (\text{mit Schwerpunkt der projizierten Fläche: } z_s) \end{array} \right.$$

*Druckkraft F steht senkrecht auf der Fläche A

Druckkräfte auf geneigte Behälterwände (3/5)

⇒ Vertikaler Angriffspunkt der Druckkraft: $w=w_D$

⇒ Drehmoment um die x-Achse: $F \cdot w_D = \int_A w dF$

$$dF = (p_i - p_a) dA \quad \text{bzw.} \quad dF = -\rho g z dA = \rho g \cdot \cos \alpha \cdot w \cdot dA \quad (\text{s.o.})$$

$$\rightarrow w_D = \frac{\int_A w dF}{F} = \frac{\int_A \cancel{\rho g \cdot \cos \alpha} \cdot w^2 \cdot dA}{\cancel{\rho g \cdot \cos \alpha} \cdot w_S \cdot A} = \frac{\int_A w^2 \cdot dA}{w_S \cdot A}$$

⇒ Integral $\int_A w^2 dA$ ist bekannt aus TM2 zur Bestimmung des axialen **Flächenträgheitsmoments**: $I_x = \int_A w^2 dA$

Ist zu der Fläche das Flächenträgheitsmoment um die x-Achse bekannt, kann der Angriffspunkt der Druckkraft nur aus geometrischen Größen bestimmt werden:

⇒ Kraftangriffspunkt in w-Richtung

$$w_D = \frac{I_x}{w_S \cdot A}$$

Druckkräfte auf geneigte Behälterwände (4/5)

⇒ Seitlicher Angriffspunkt der Druckkraft: $x=x_D$

⇒ Drehmoment um die w-Achse: $F \cdot x_D = \int_A x dF$

$$dF = (p_i - p_a) dA \quad \text{bzw.} \quad dF = -\rho g z dA = \rho g \cdot \cos \alpha \cdot w \cdot dA \quad (\text{s.o.})$$

$$\rightarrow x_D = \frac{\int_A x dF}{F} = \frac{\int_A \cancel{\rho g \cdot \cos \alpha} \cdot x \cdot w \cdot dA}{\cancel{\rho g \cdot \cos \alpha} \cdot w_S \cdot A} = \frac{\int_A x \cdot w \cdot dA}{w_S \cdot A}$$

⇒ Integral $\int_A x w dA$ ist bekannt aus TM2 zur Bestimmung des

Deviationsmoments: $I_{xw} = \int_A x w dA$

Ist zu der Fläche das Deviationsmoment um die w-Achse bekannt, kann der Angriffspunkt der Druckkraft nur aus geometrischen Größen bestimmt werden:

⇒ Kraftangriffspunkt in x-Richtung

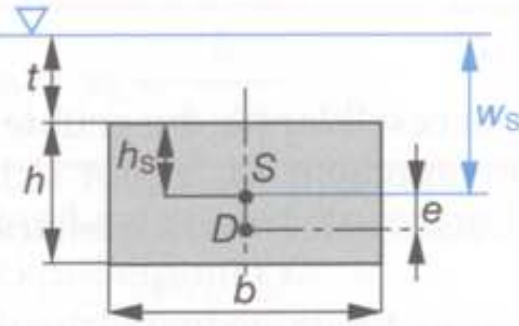
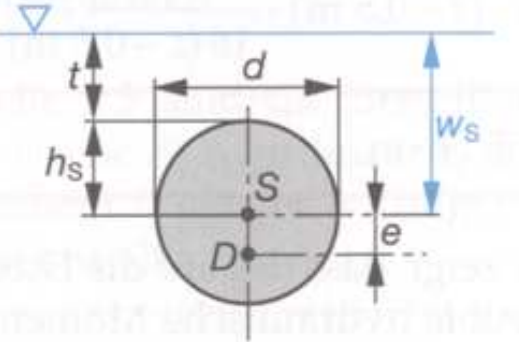
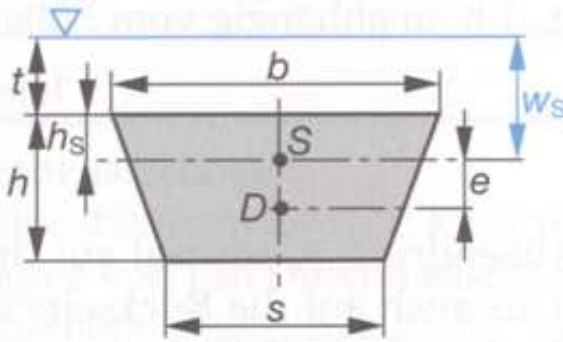
$$x_D = \frac{I_{xw}}{w_S \cdot A}$$

⇒ Das Deviationsmoment verschwindet bei symmetrischen Querschnitten, wenn die w-Achse im Schwerpunkt S liegt: $I_{xw}=0$

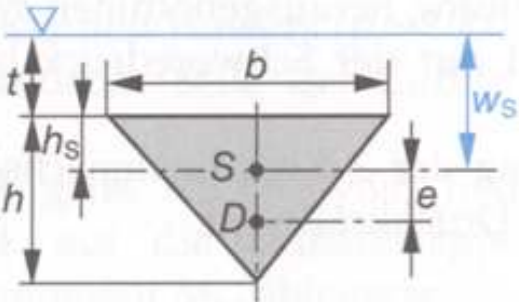
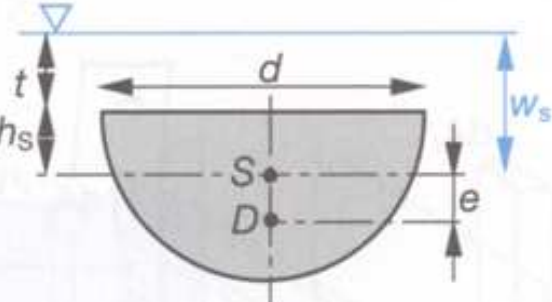
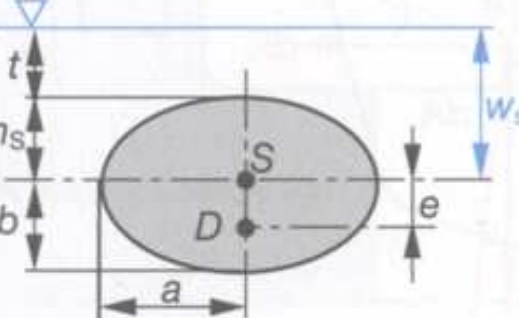
Druckkräfte auf geneigte Behälterwände (5/5)

- ⇒ Flächenträgheitsmoment I_x bezieht sich auf die Spiegellinie
- ⇒ Deviationsmoment I_{xw} bezieht sich auf die Spiegellinie (x-Achse) und auf die w-Achse
- ⇒ Beide Momente sind häufig nur für den Flächenschwerpunkt tabelliert
- ⇒ **Satz von Steiner** (s. TM2) $I_x = I_{x_s} + w_S^2 A$ $I_{xw} = I_{xw_s} + x_S w_S A$
 - ⇒ Schwerpunktsachsen: Index x_s bzw. w_s
 - ⇒ w_s und x_s sind die Abstände der x- bzw. w-Achse zum Schwerpunkt

Ausgewählte Flächenträgheitsmomente (1/2)

Nr.	Flächenform	Fläche A	Koordinate h_s	Trägheitsmoment I_s
1		$A = b \cdot h$	$h_s = \frac{h}{2}$	$I_s = \frac{b \cdot h^3}{12}$
2		$A = d^2 \cdot \frac{\pi}{4}$	$h_s = \frac{d}{2}$	$I_s = \frac{d^4 \cdot \pi}{64}$
3		$A = \frac{b + s}{2} h$	$h_s = \frac{h(b + 2s)}{3(b + s)}$	$I_s = \frac{h^3(b^2 + 4bs + s^2)}{36(b + s)}$

Ausgewählte Flächenträgheitsmomente (2/2)

Nr.	Flächenform	Fläche A	Koordinate h_s	Trägheitsmoment I_s
4		$A = \frac{b \cdot h}{2}$	$h_s = \frac{1}{3} \cdot h$	$I_s = \frac{b \cdot h^3}{36}$
5		$A = \pi \cdot \frac{d^2}{8}$	$h_s = \frac{2 \cdot d}{3 \cdot \pi}$	$I_s = 0,0068 \cdot d^4$
6		$A = \pi \cdot a \cdot b$	$h_s = b$	$I_s = \frac{\pi}{4} \cdot a \cdot b^3$

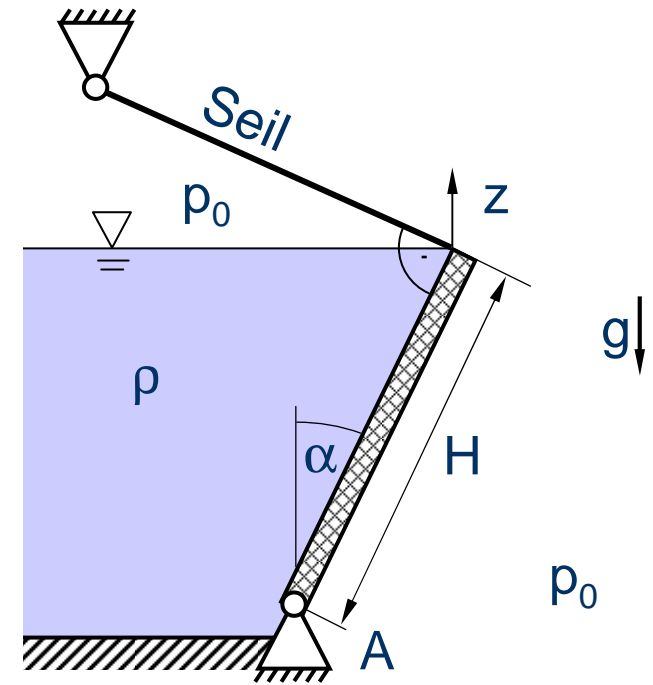
Beispiel

⇒ Eine in A drehbar gelagerte rechteckige Platte (H x B) wird an der Spiegellinie mit einem Seil gehalten

Geg.: $H=2\text{m}$, $B=4\text{m}$, $\alpha=20^\circ$,
 $\rho=1000\text{kg/m}^3$, $g=9,81\text{m/s}^2$

Ges.: Seilkraft S

⇒ Beispiel wird an der Tafel vorgerechnet



Druckkräfte auf gekrümmte Behälterwände (1/3)

⇒ Beschränkung auf Behälterwände mit einer Krümmung und konstanter Breite B

⇒ Betrachtung eines Flächenelements dA mit dem lokalen Neigungswinkel α

⇒ Kraft F_y in y -Richtung $dF_y = dF \cos \alpha$

⇒ Wie oben gilt $dF = (p_i - p_a) dA$

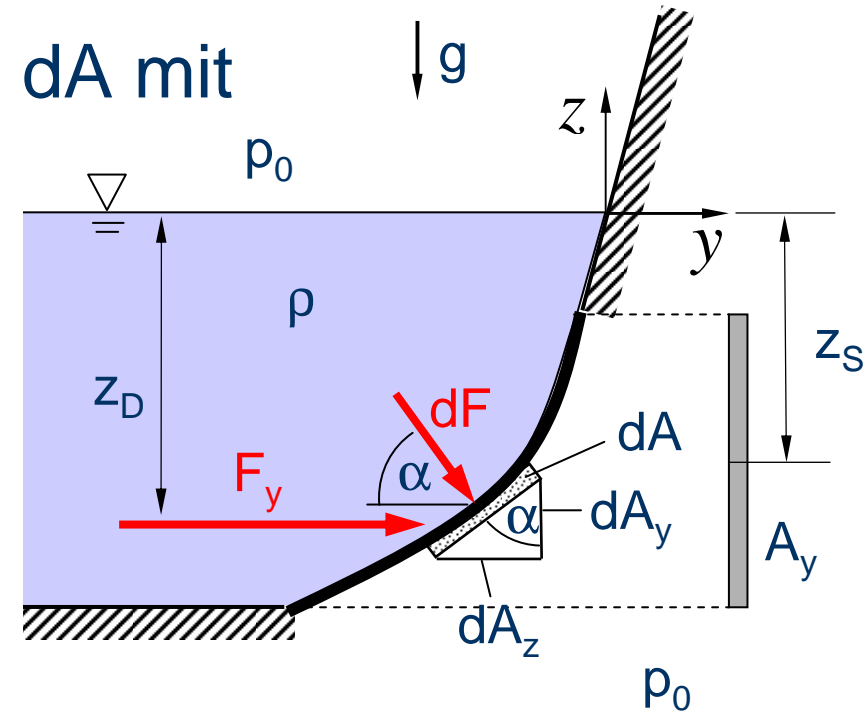
$$\rightarrow dF_y = (p_i - p_a) \underbrace{dA \cos \alpha}_{dA_y}$$

$$\rightarrow F_y = \int_{A_y} (p_i - p_a) dA_y = -\rho g \int_{A_y} z dA_y \quad (\text{s.o.})$$

⇒ Integration über **projizierte Fläche A_y** kann wie bei der geraden geneigten Wand erfolgen (s.o.)

$$\rightarrow \boxed{F_y = -\rho g \cdot z_S \cdot A_y}$$

A_y =projizierte Fläche (rechteckig, da hier $B=\text{const}$)
 z_S =Schwerpunktkoordinate der projizierten Fläche A_y



Druckkräfte auf gekrümmte Behälterwände (2/3)

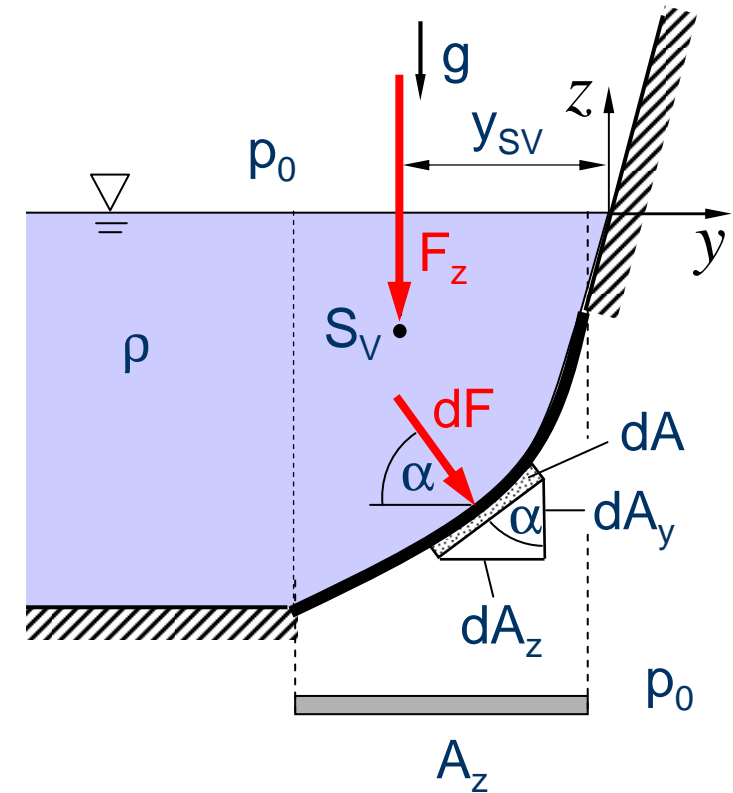
⇒ Kraft F_z in z-Richtung $dF_z = dF \sin \alpha$

⇒ Wie oben gilt $dF = (p_i - p_a) dA$

→ $dF_z = (p_i - p_a) \underbrace{dA \sin \alpha}_{dA_z}$

→ $F_z = \int_{A_z} (p_i - p_a) dA_z = -\rho g \underbrace{\int_{A_z} z dA_z}_{V} \quad (\text{s.o.})$

→ $F_z = -\rho g V$ (nach unten gerichtet)



⇒ Integration der Flüssigkeitshöhe z über die projizierte Fläche dA_z entspricht dem Flüssigkeitsvolumen V oberhalb der Wand $V = \int_{A_z} z dA_z$

⇒ F_z entspricht damit dem **Flüssigkeitsgewicht über der Wand**

Druckkräfte auf gekrümmte Behälterwände (3/3)

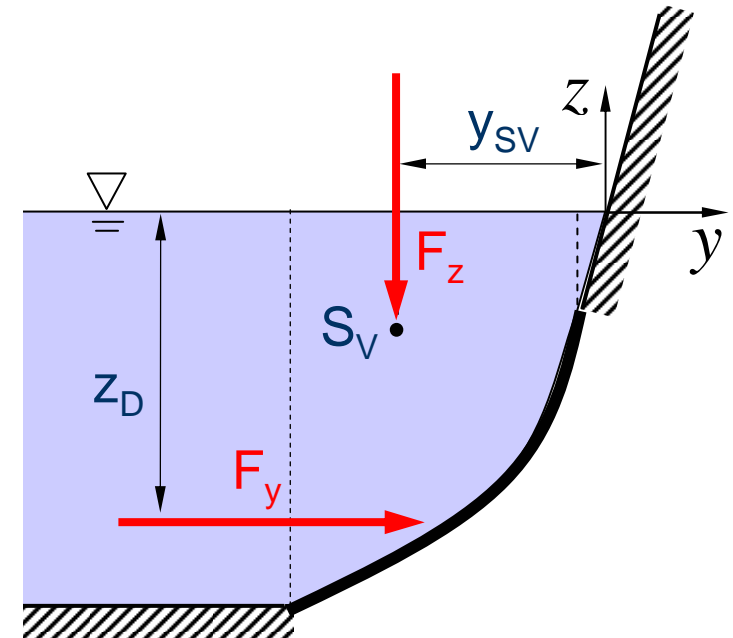
⇒ Vertikaler Angriffspunkt der Druckseitenkraft F_y

⇒ ähnlich **wie bei den geneigten Wänden**, wobei

- ⇒ das Flächenträgheitsmoment,
 - ⇒ der Flächenschwerpunkt,
 - ⇒ und die Fläche
- der Projektionsfläche einzusetzen sind

$$\rightarrow z_D = \frac{I_x(A_y)}{z_S(A_y) \cdot A_y}$$

Hinweis: Es zählt nur die Projektionsfläche A_y .
Mehrfachüberdeckungen der gekrümmten Wand
haben keinen Einfluss auf F_y oder z_D .

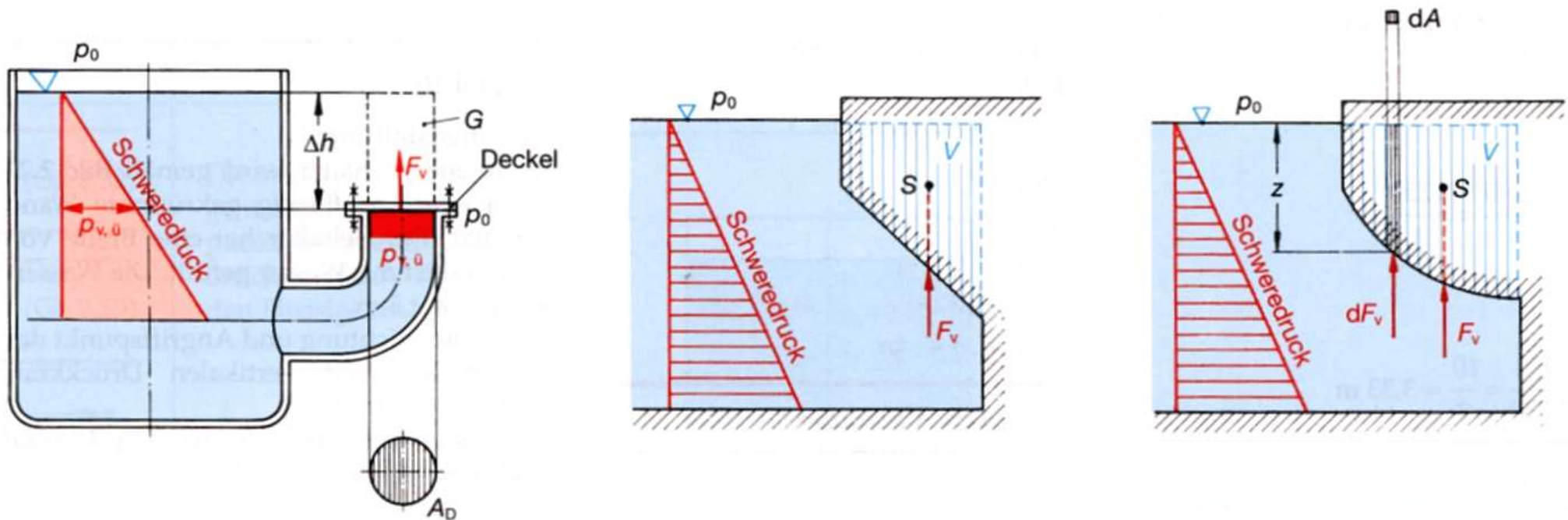


⇒ Horizontaler Angriffspunkt der Gewichtskraft F_z

⇒ im Massen- bzw. **Volumenschwerpunkt** S_v

⇒ Koordinate y_{vs}

Aufdruckkraft



- ⇒ Aufdruckkraft: Vertikal nach oben gerichtete Kraft F_V wirkt an von unten mit Druck beaufschlagten Flächen
- ⇒ Aufdruckkraft entspricht dem **Gewicht** einer gedachten über der Fläche stehenden Flüssigkeitssäule: $F_V = \rho g V$
- ⇒ z.B. Links am Deckel $F_V = (p_i - p_a) A_D = \rho g \cdot \Delta h \cdot A_D = \rho g \cdot V = G$
- ⇒ Angriffspunkt der Aufdruckkraft ist der Volumenschwerpunkt S

Beispiel

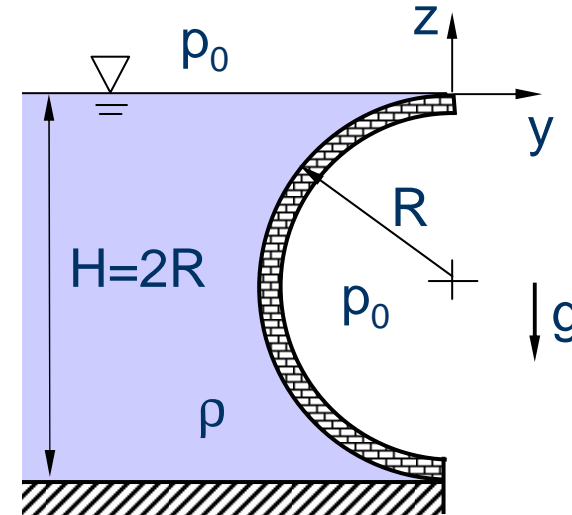
⇒ Für eine halbkreisförmige Sperrmauer ist die resultierende Druckkraft und ihr Angriffspunkt gesucht.

Geg.: R , ρ , g , B

Ges.: a) F_{Dy} , F_{Dz}
b) z_D , y_D

Hinweis: Schwerpunkt im Halbkreis: $r_s = 4R/3\pi$

⇒ Beispiel wird an der Tafel vorgerechnet



Hydrostatischer Auftrieb (1/2)

⇒ Ein vollständig in eine Flüssigkeit eingetauchter Körper erfährt eine Auftriebskraft F_A

⇒ Auftriebskraft resultiert aus den hydrostatischen Druckdifferenzen

⇒ Druckkräfte an der Fläche dA

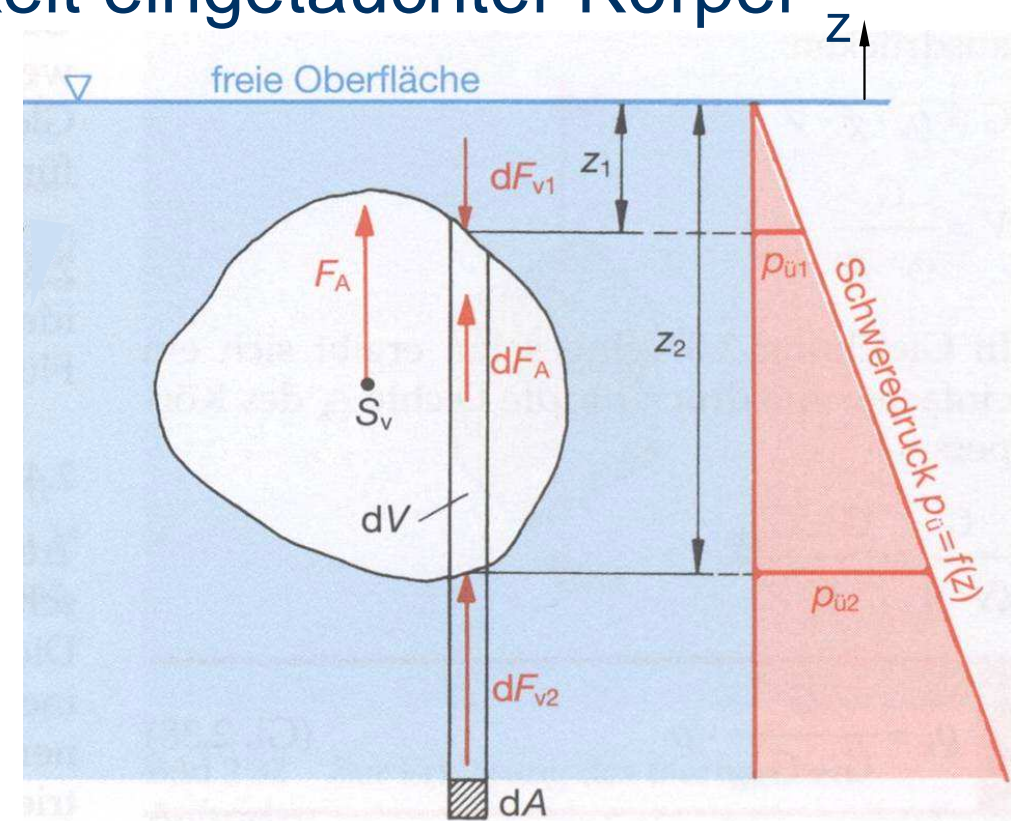
⇒ Oben: $dF_{V1} = (p_0 - \rho g z_1) dA$

⇒ Unten: $dF_{V2} = (p_0 - \rho g z_2) dA$

⇒ Differenz: $dF_A = dF_{V2} - dF_{V1}$
 $= \rho g (z_1 - z_2) dA$
 $= \rho g dV$

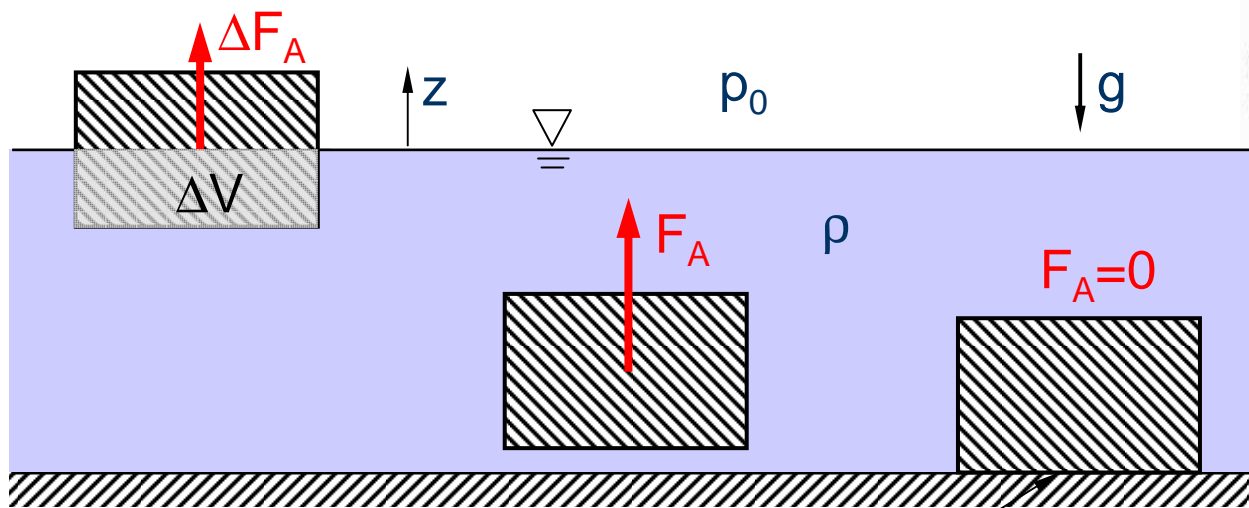
⇒ Integration über das gesamte Volumen ergibt: $F_A = \rho g V$

⇒ Auftriebskraft entspricht dem Gewicht der verdrängten Flüssigkeit und greift im Volumenschwerpunkt S_V an



Hydrostatischer Auftrieb (2/2)

- ⇒ Ein teilweise in eine Flüssigkeit eingetauchter Körper erfährt eine Auftriebskraft ΔF_A , die zum verdrängten Volumen ΔV proportional ist: $\Delta F_A = \rho g \Delta V$
- ⇒ Sind Teile des eingetauchten Körper nicht mit der Flüssigkeit benetzt, tragen diese u.U. nicht zum Auftrieb bei



Dicht abgeschlossene
Kontaktfläche



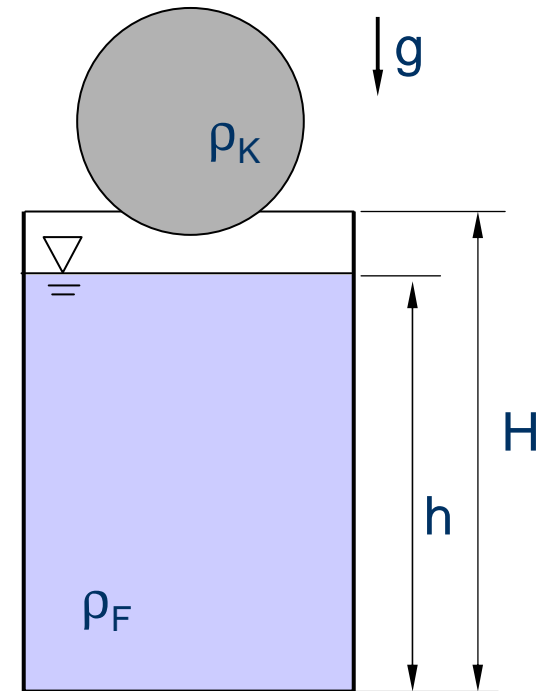
Beispiel

⇒ Ein zylindrischer Behälter (Höhe H , Fläche A) ist bis zur Höhe h mit einer Flüssigkeit (ρ_F) gefüllt. In den Behälter wird langsam eine Kugel ($\rho_K < \rho_F$) gegeben, die dann an der Oberfläche schwimmt.

Geg.: $H, h, A, \rho_F, \rho_K, g$

Ges.: Durchmesser der Kugel, so dass der Behälter gerade noch nicht überläuft

⇒ Beispiel wird an der Tafel vorgerechnet



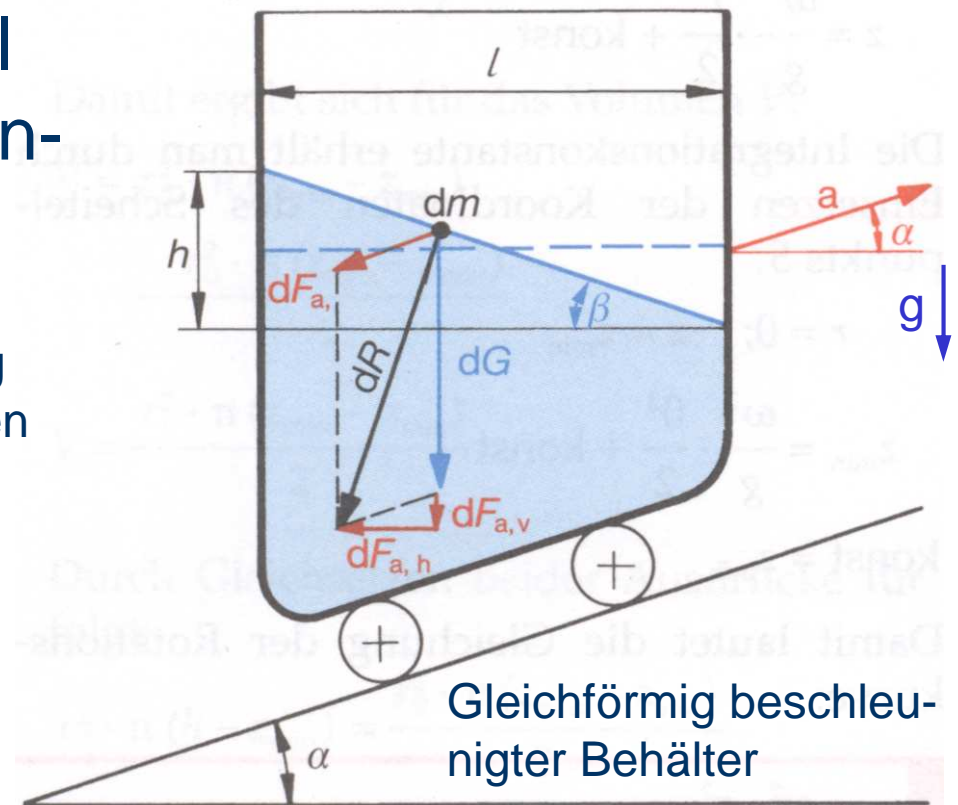
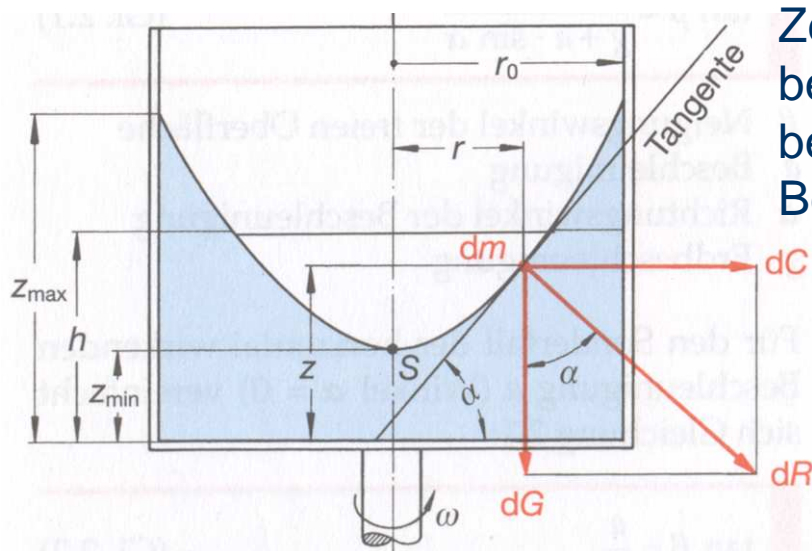
Hydrostatik bei gleichförmiger Beschleunigung

⇒ Treten neben der Erdbeschleunigung weitere stationäre Volumenkräfte bzw. Beschleunigungen auf, so gilt: $\vec{a}_{ges} = \sum_i \vec{a}_i + \vec{g}$

⇒ Modifizierte Eulersche Grundgleichung der Hydrostatik

$$\rightarrow \frac{\partial p}{\partial x} = \rho a_{ges,x} \quad \frac{\partial p}{\partial y} = \rho a_{ges,y} \quad \frac{\partial p}{\partial z} = \rho a_{ges,z}$$

⇒ Die Oberfläche steht dabei lokal immer senkrecht zum resultierenden Kraftvektor dR

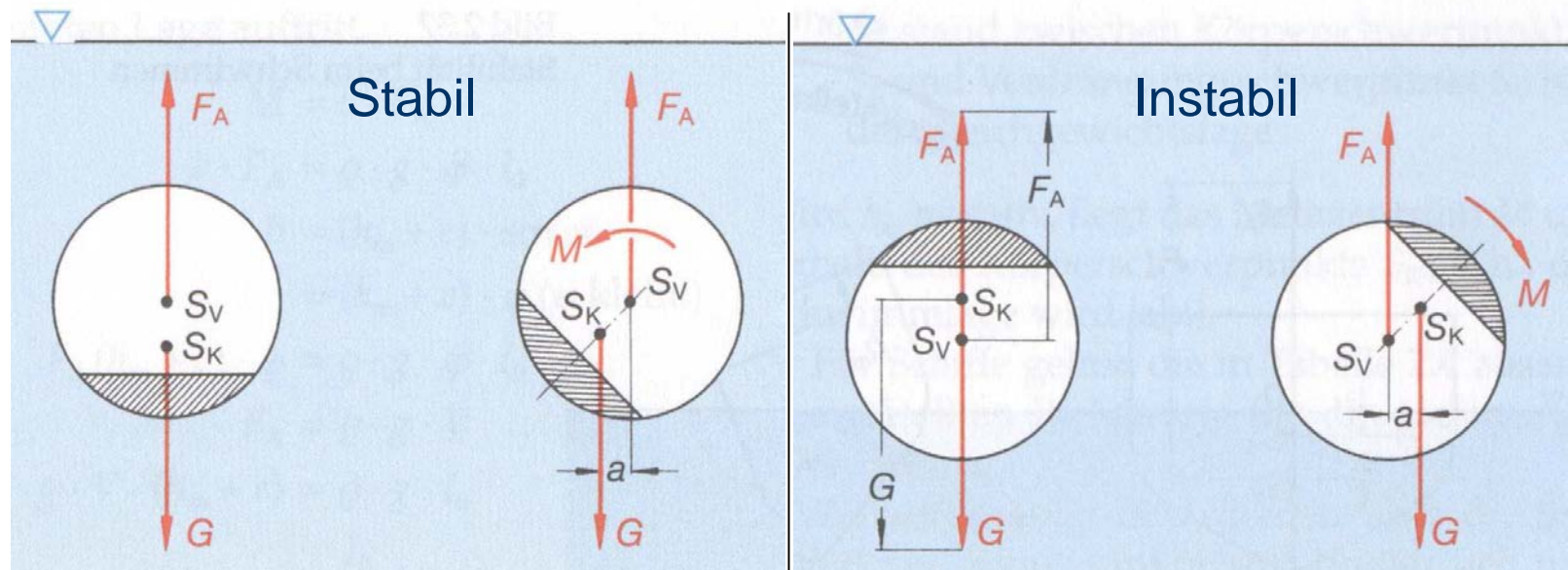


Stabilität schwimmender Körper (1/3)

- ⇒ Ein Körper **schwimmt** bei Eigengewicht = Auftrieb: $G = F_A$
- ⇒ Ist der Körper vollständig eingetaucht, **schwebt** er
- ⇒ Gleichgewicht bei nur zwei Kräften
 - ⇒ liegt vor, wenn beide Wirkungslinien übereinander liegen und die Kräfte gleich sind
 - ⇒ reicht für die **Stabilität gegenüber Drehung** nicht aus
- ⇒ Schwimmende oder schwebende Körper sind gegenüber Drehungen stabil, wenn rückstellende Momente auftreten

S_K = Massenschwerpunkt, Angriffspunkt von G

S_V = Volumen- bzw. Verdrängungsschwerpunkt, Angriffspunkt von F_A



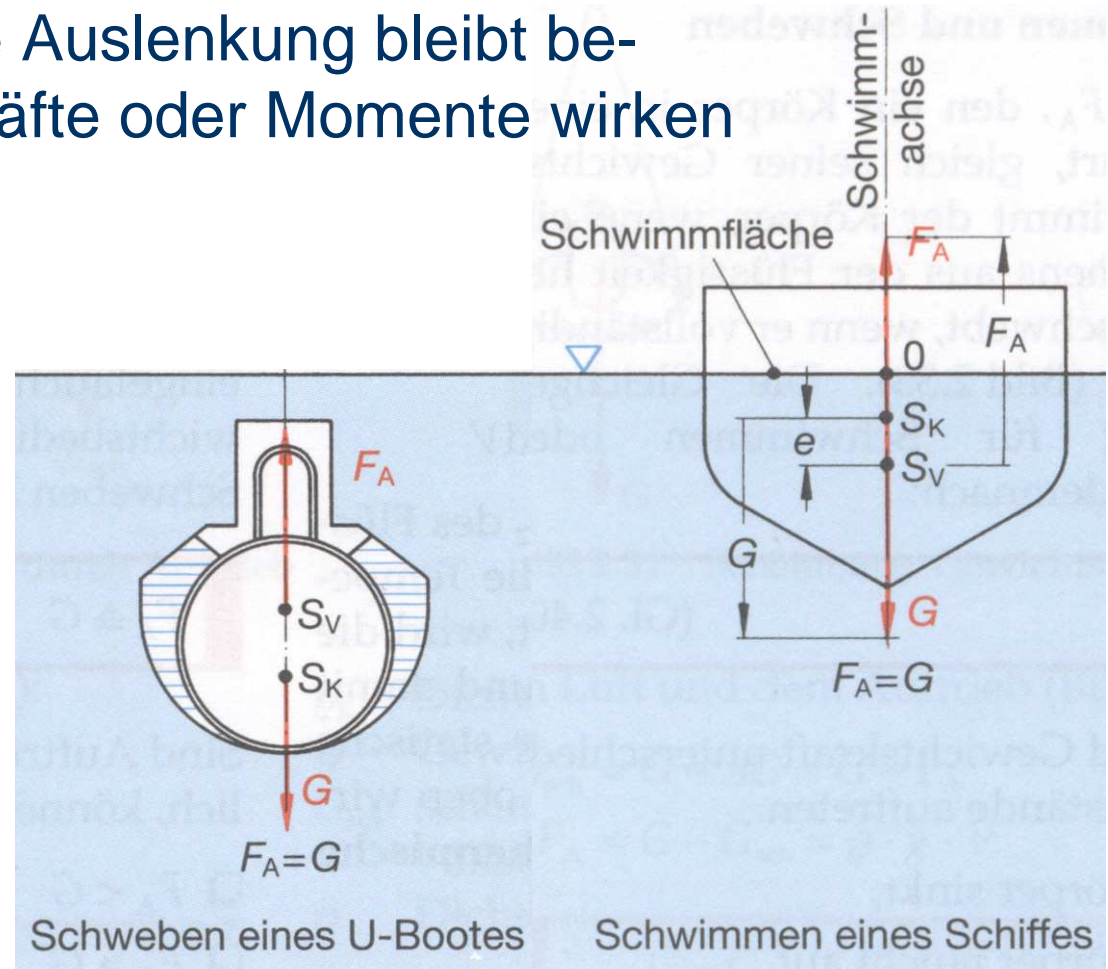
Stabilität schwimmender Körper (2/3)

- ⇒ **Stabile Schwimmelage:** Nach einer Auslenkung kehrt der Schwimmkörper in seine Ausgangslage zurück.
- ⇒ **Instabile Schwimmelage:** Die Auslenkung wird verstärkt
→ Kippen oder Kentern bis neue stabile Lage erreicht
- ⇒ **Indifferente Schwimmelage:** Die Auslenkung bleibt bestehen, sofern keine äußeren Kräfte oder Momente wirken
- ⇒ Für Schiffe ist die Stabilität von entscheidender Bedeutung

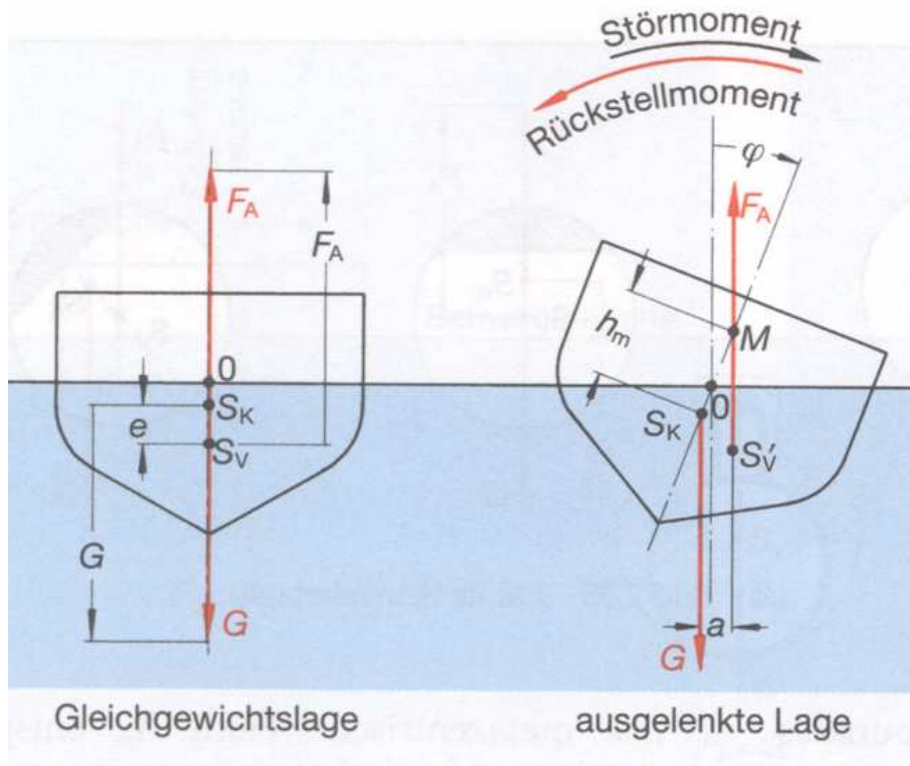
Gewichtstabil: S_K liegt tiefer als S_V
z.B. links beim U-Boot

oder

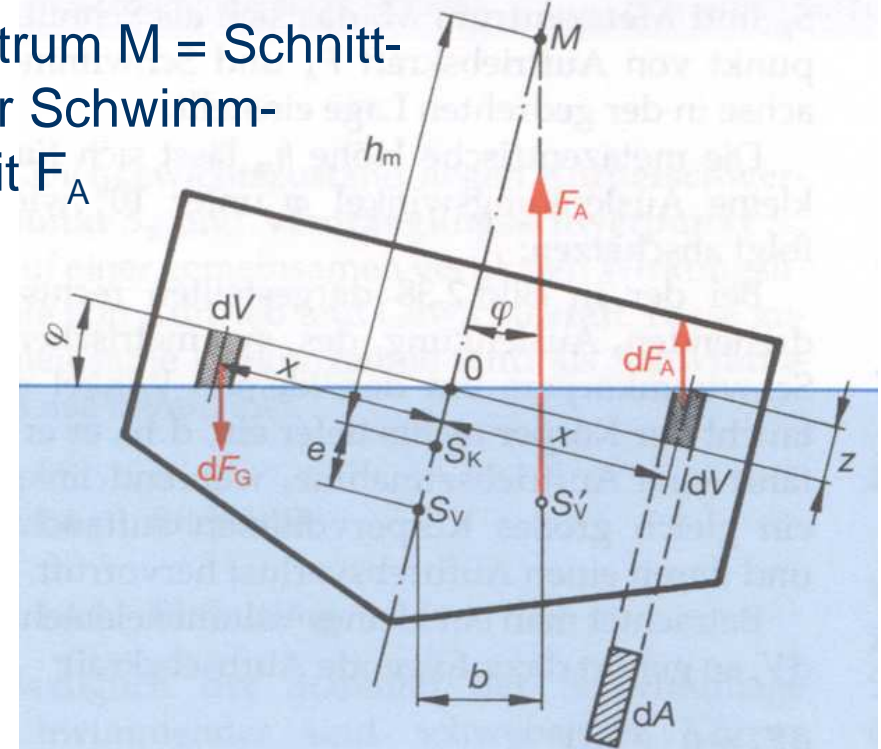
Formstabil: Metazentrum M liegt über S_K , z.B. rechts beim Schiff
(Definition s. nächste Folie)



Stabilität schwimmender Körper (3/3)



Metazentrum M = Schnittpunkt der Schwimmachse mit F_A



⇒ Ohne Herleitung:

⇒ **Metazentrische Höhe:** $h_M = \frac{I_0}{V} - e$ = Abstand zwischen Körperschwerpunkt S_K und **Metazentrum M**

⇒ V = verdrängtes Flüssigkeitsvolumen

⇒ I_0 = Flächenträgheitsmoment der Schwimmfläche bezogen auf die Drehachse 0

⇒ e = Abstand zwischen S_K und S_V

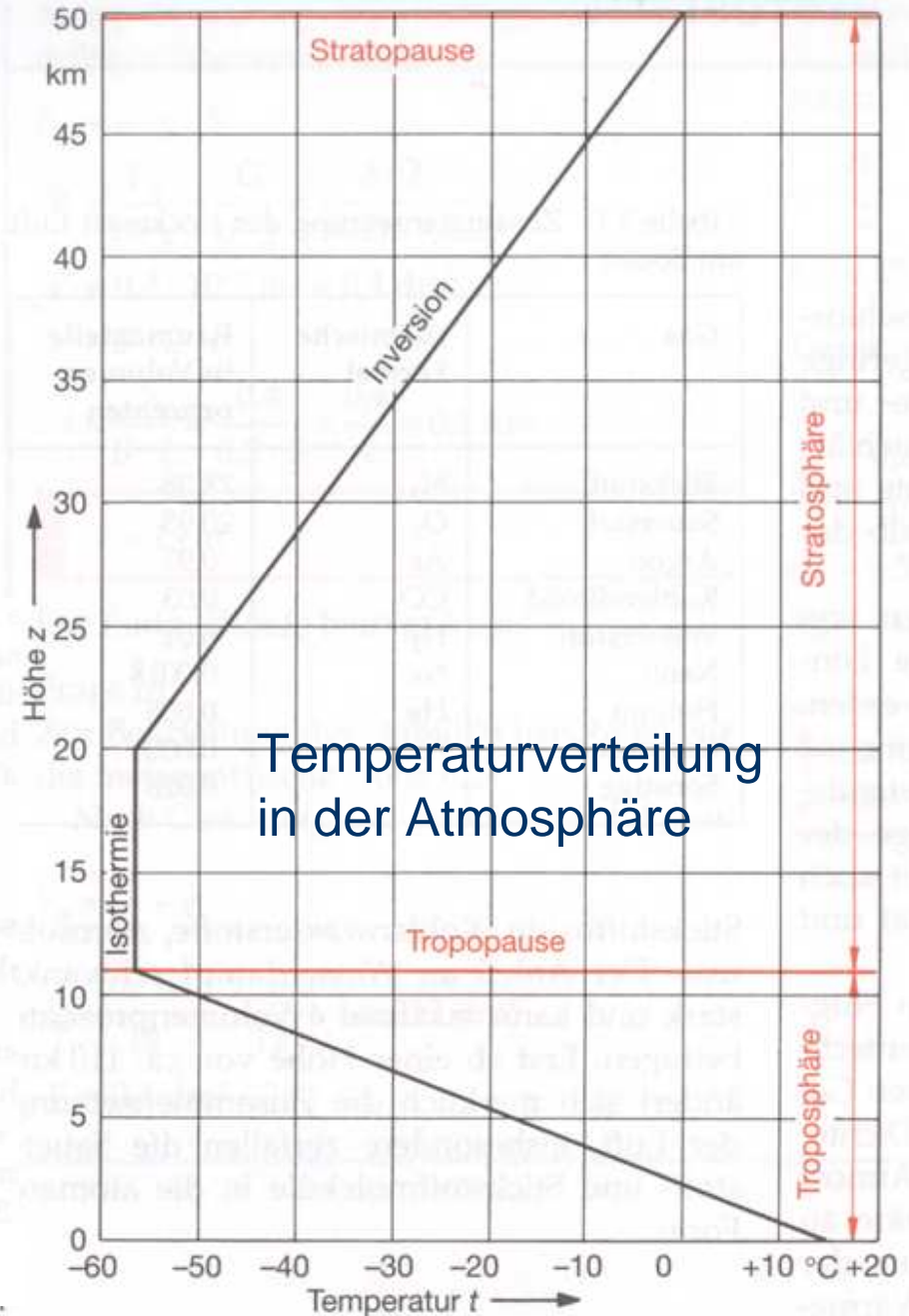
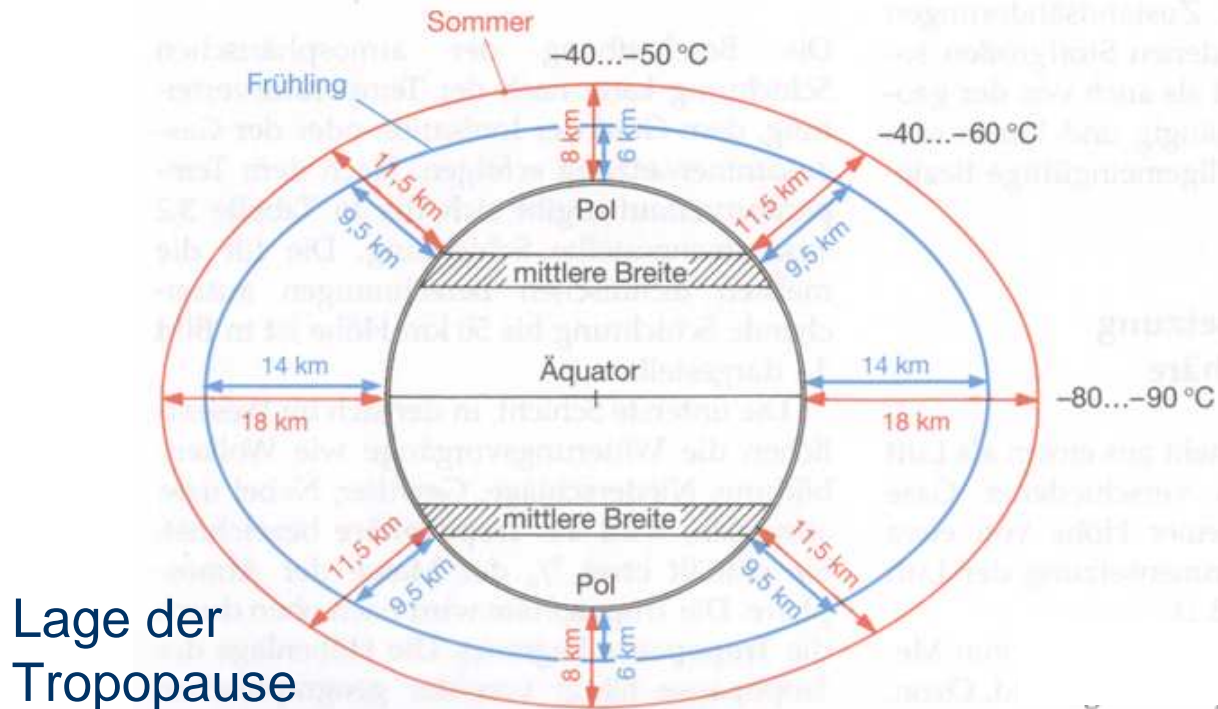
$h_M > 0$ für Formstabilität

Segelschiffe: $h_M = 0,9 - 1,5 \text{ m}$

Frachtschiffe: $h_M = 0,6 - 0,9 \text{ m}$

Aerostatik

- ⇒ **Ruhende kompressible Gase**
- ⇒ Abgrenzung zur Hydrostatik:
 $\rho \neq \text{const} \rightarrow \rho = \rho(p, T)$
- ⇒ Bei großen Höhenunterschieden
ist auch $g \neq \text{const}$. Hier soll aber
gelten: $g = \text{const}$

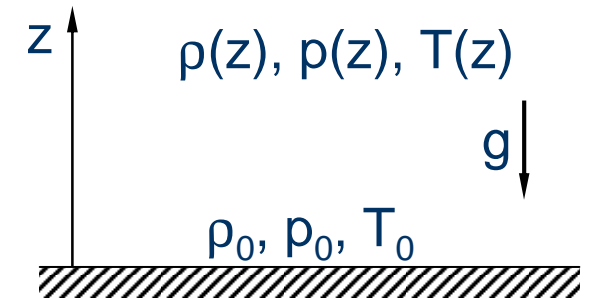


Quelle: Bohl, Elmendorf, Techn. Strömungslehre, 2005

Grundgleichung der Aerostatik

⇒ **Eulersche Grundgleichung**
(mit $\rho = \rho(z)$)

$$\frac{dp}{dz} = -\rho(z)g$$



⇒ Luft kann in guter Näherung als **ideales Gas** betrachtet werden:

$$\frac{p}{\rho} = RT \quad \text{oder} \quad pV = mRT \quad (R = \text{spezifische Gaskonstante, z.B. } R=287 \text{ J/(kgK) für Luft})$$

⇒ Für die Änderung mit der Höhe können drei grundsätzliche alternative Annahmen zur Atmosphäre gemacht werden:

1. die Atmosphäre ist **isotherm**, d.h. $T = \text{const}$, oder
2. die Entropie bleibt konstant (= **isentrop**), oder
3. es gilt die **Normatmosphäre** (Standardatmosphäre) nach ICAO (werden wir hier nicht betrachten)

Isotherme Schichtung

⇒ Temperatur $T = \text{const} \rightarrow \frac{p}{\rho} = RT = \text{const}$

⇒ Damit gilt $\frac{p}{\rho} = \frac{p_0}{\rho_0} \rightarrow \rho = \rho_0 \frac{p}{p_0}$

⇒ Für eine infinitesimal dicke Schicht dz folgt aus der Grundgleichung $dp = -\rho(z)g dz = -\rho_0 \frac{p}{p_0} g dz$

⇒ Trennung der Variablen und Integration

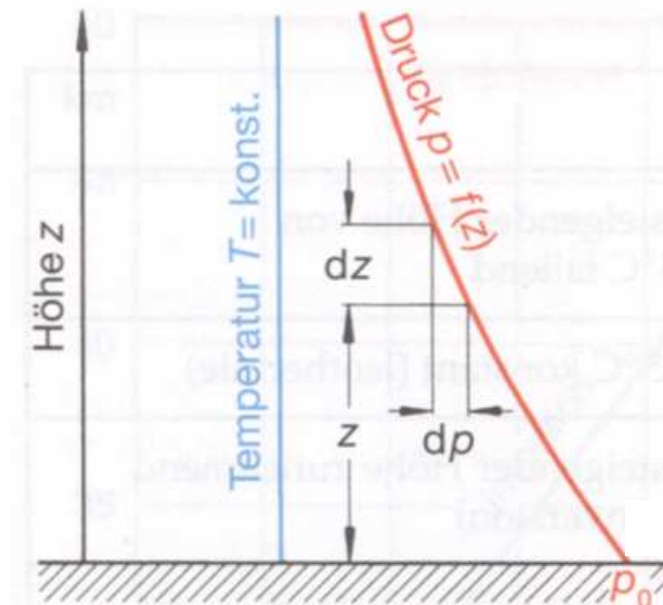
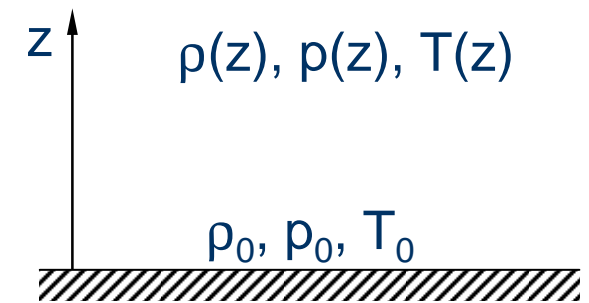
$$\int \frac{dp}{p} = -\frac{\rho_0}{p_0} g \int dz \rightarrow \ln p = -\frac{\rho_0}{p_0} g \cdot z + C$$

⇒ $p = p_0$ bei $z = 0$: $\ln p_0 = C$

⇒ Mit $\ln p - \ln p_0 = \ln \frac{p}{p_0} \rightarrow \frac{p}{p_0} = e^{-\frac{\rho_0}{p_0} g \cdot z} \rightarrow \boxed{\frac{p}{p_0} = e^{-\frac{g \cdot z}{RT}}}$

⇒ Mit $p = \rho \frac{p_0}{\rho_0} \rightarrow \boxed{\frac{\rho}{\rho_0} = e^{-\frac{g \cdot z}{RT}}}$

**Barometrische
Höhengleichung**



Quelle: Bohl, Elmendorf,
Techn. Strömungslehre, 2005

Isentrope Schichtung

⇒ Isentrope Änderung = kein Wärmeaustausch mit der Umgebung

⇒ Damit gilt $\frac{p}{\rho^\kappa} = \frac{p_0}{\rho_0^\kappa} \rightarrow \rho = \rho_0 \left(\frac{p}{p_0} \right)^{1/\kappa}$ ($\kappa = \text{Isentropenexponent}$, Luft: $\kappa=1,4$ s. Thermodynamik)

⇒ Für eine infinitesimal dicke Schicht dz folgt aus der Grundgleichung $dp = -\rho(z) g dz = -\rho_0 \left(\frac{p}{p_0} \right)^{1/\kappa} g dz$

⇒ Trennung der Variablen und Integration

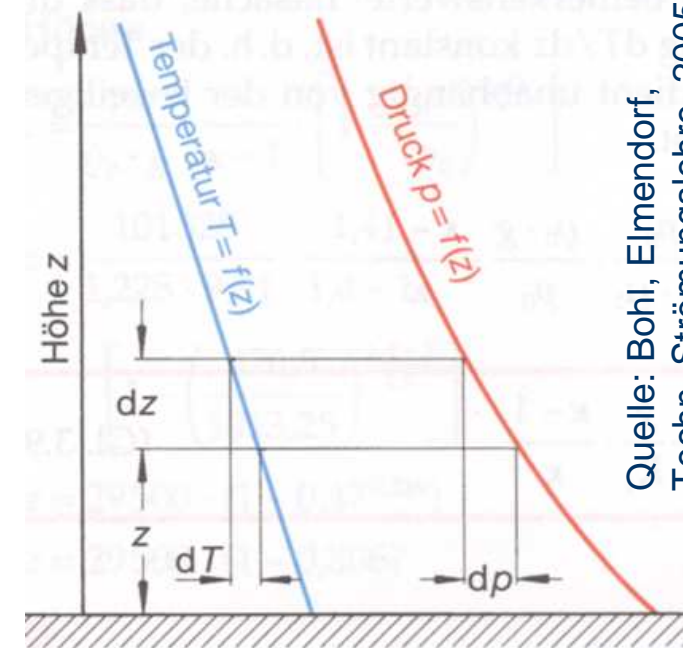
$$\int p^{-1/\kappa} dp = -\frac{\rho_0}{p_0^{1/\kappa}} g \int dz \rightarrow \frac{\kappa}{\kappa-1} p^{\frac{\kappa-1}{\kappa}} = -\frac{\rho_0}{p_0^{1/\kappa}} g \cdot z + C$$

⇒ $p=p_0$ bei $z=0$: $\frac{\kappa}{\kappa-1} p_0^{\frac{\kappa-1}{\kappa}} = C$

⇒ Nach Umstellung

$$\frac{p}{p_0} = \left(1 - \frac{\rho_0}{p_0} \frac{\kappa-1}{\kappa} g z \right)^{\frac{\kappa}{\kappa-1}}$$

⇒ Mit $\frac{p}{p_0} = \frac{\rho^\kappa}{\rho_0^\kappa} \rightarrow \frac{\rho}{\rho_0} = \left(1 - \frac{\rho_0}{p_0} \frac{\kappa-1}{\kappa} g z \right)^{\frac{1}{\kappa-1}}$, mit $\frac{T}{T_0} = \frac{p/p_0}{\rho/\rho_0} \rightarrow \frac{T}{T_0} = 1 - \frac{\rho_0}{p_0} \frac{\kappa-1}{\kappa} g z$



Quelle: Bohl, Elmendorf,
Techn. Strömungslehre, 2005

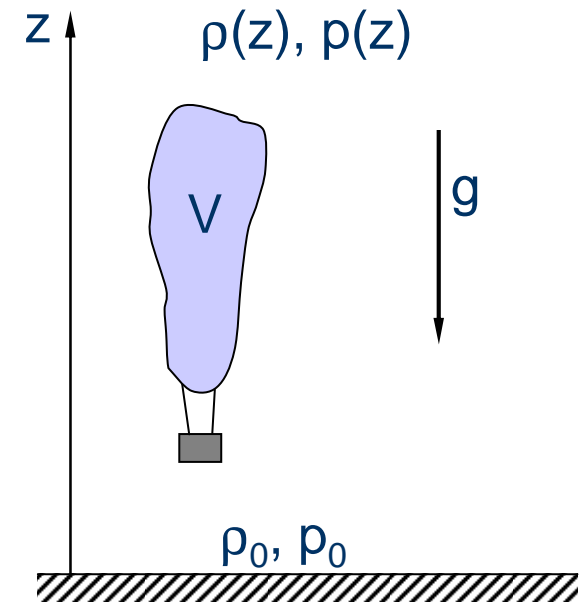
Beispiel

⇒ Ein Wetterballon mit Masse m und Anfangsvolumen V_0 steigt in einer isothermen Atmosphäre auf. Bis zum Erreichen des maximalen Volumens V_1 ist die Hülle schlaff ($V < V_1$).

Geg.: $m=2,5\text{kg}$, $V_0=2,8\text{m}^3$, $V_1=10\text{m}^3$, $p_0=10^5\text{Pa}$,
 $\rho_0=1,27\text{kg/m}^3$, $R_{\text{Luft}}=287\text{J/kgK}$, $g=9,81\text{m/s}^2$

Ges.: a) Notwendige Haltekraft am Boden ($V=V_0$)
b) In welcher Höhe wird V_1 erreicht?
c) Wie hoch steigt der Ballon ($V=V_1$)?

⇒ Beispiel wird an der Tafel vorgerechnet



Zusammenfassung

⇒ Vertikale Druckverteilung der Hydrostatik $p = p_0 - \rho g z$

⇒ Druckkräfte und Angriffspunkte bei geneigten geraden

Wänden $F = \rho g \cdot \cos \alpha \cdot w_S \cdot A$

$$F = -\rho g \cdot z_S \cdot A$$

$$w_D = \frac{I_x}{w_S \cdot A}$$

$$x_D = \frac{I_{xw}}{w_S \cdot A}$$

⇒ Druckkräfte und Angriffspunkte bei einfach gekrümmten

Wänden (A_y = projizierte Fläche)

$$F_y = -\rho g \cdot z_S \cdot A_y$$

$$F_z = -\rho g V$$

$$z_D = \frac{I_x(A_y)}{z_S(A_y) \cdot A_y}$$

⇒ Aufdruckkraft = Gewicht der fiktiven Flüssigkeitssäule $F_V = \rho g V$

⇒ Auftrieb = Gewicht der verdrängten Flüssigkeit $F_A = \rho g V$

⇒ Gewichts- und Formstabilität schwimmender Körper

⇒ Isotherme Atmosphärensichtung: $p = p_0 e^{-\frac{g \cdot z}{RT}}$

⇒ Isentrope Atmosphärensichtung: $p = p_0 \left(1 - \frac{\rho_0}{p_0} \frac{\kappa - 1}{\kappa} g z \right)^{\frac{\kappa}{\kappa - 1}}$